

***Smeringopus sambesicus* Kraus, 1957**

Kraus, O. 1957. Araneenstudien 1. Pholcidae (Smeringopodinae, Ninetinae). Senck. biol. 38(3/4): 217-243.

p. 226-227

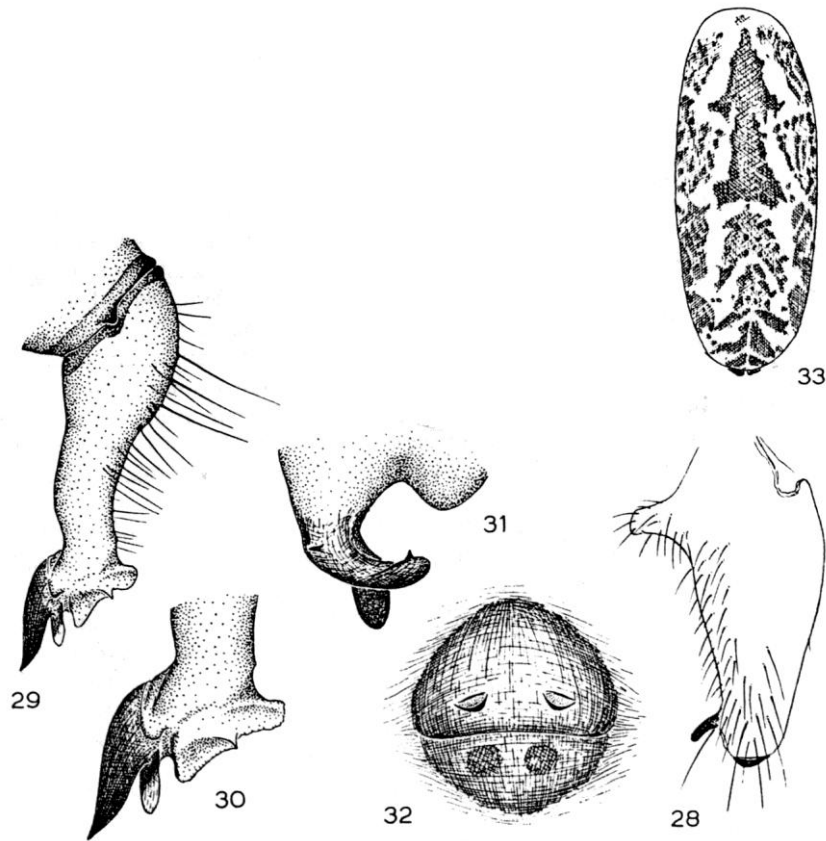


Fig. 28-33. *Smeringopus sambesicus* n. sp.
28) Chelicere von lateral; 29) Ta des rechten Pedipalpus von lateral;
30) distales Ende des Ta stärker vergrößert; 31) Bulbus-Apophyse des rechten Pedipalpus von medial; 32) Epigyne; 33) Abdomen von dorsal.

***Smeringopus sambesicus* n. sp.**

Taf. 21 Fig. 28-33.

♂ **Beschreibung**: Ceph fast unmerklich länger als breit. Clypeus steil nach ventral-vorn abfallend, schwach gewölbt, seine Höhe gleich dem 4fachen Durchmesser der VM. Sternum deutlich breiter als lang, seine Borstentuberkel schwach, also nahezu glatt. Cheliceren (Fig. 28) frontal auf der Fläche nahe der Clypeus-Unterkante mit großem, hornartig vorspringendem Fortsatz, der gerade nach vorn gerichtet ist; nahe der Klauen-Basis eine stumpf-zylindrische Zahnspitze, die leicht nach ventral gekrümmt und ganz wenig nach medial gerichtet ist.

Reihe der VA recurv, die untere Tangente der VS schneidet die Zentren der VM. HA schwach recurv. $VM < HM < VS < HS$. VM um etwa $\frac{1}{3}$ ihres Radius voneinander und um knapp $\frac{2}{3}$ ihres Radius von den VS entfernt. Abstand der HM gleich ihrem Längsmesser. Das von den VM+HM gebildete Trapez wenig kürzer als hinten breit (0.45:0.50).

Beine: Längenverhältnis der Fe I:IV:II:III, Fe I 6mal länger als der Ceph.

Pedipalpen (Fig. 39-31) denjenigen der Art *roeweri* sehr ähnlich, Unterschiede lediglich in der Gestalt der Bulbus-Apophyse und des lateralen Ta-Fortsatzes, bei dem neben einer sehr groben Spitze eine viel kleinere, spatelförmige steht.

Abd $2\frac{1}{2}$ mal länger als breit.

Maße: Ceph L 1.90; B 1.80. — Abd L 4.1; B 1.6. — Ges L 6.4. — Fe I 11.6; II 8.8; III 7.0; IV 9.9.

satzes, bei dem neben einer sehr groben Spitze eine viel kleinere, spatelförmige

A-Durchmesser: VM 0.17; VS 0.19; HM 0.18; HS 0.20. — Abstände: VM 0.03; VM-VS 0.05; HM 0.18.

Färbung: Ceph bleich, horngelb, mit mäßig breiter Medianbinde, die in der Region der Thorakalgrube völlig eingeschnürt ist. Seitenrandbinden fehlend, doch je 2 diffuse Submarginalflecke entsprechend der Lage der Coxen III und IV. Auf dem Clypeus dunkle, konvergierende Linien. Sternum und Labium kräftig und ausgedehnt schwarz marmoriert. Abd dorsal Fig. 33; ventral eine dunkle Längsbinde, von der das hintere Drittel durch eine Unterbrechung abgesetzt ist; die beiden vorderen Drittel durch zwei schmale, helle Längszonen dreigeteilt.

♀ mit den allgemeinen Merkmalen des ♂. Die Epigyne (Fig. 32) zeigt auf der Fläche ihrer vorderen, rundlichen Platte die queren Öffnungen der Vulven, die um das $1\frac{1}{2}$ fache ihres Längsmessers voneinander entfernt sind. Auf der hinteren Platte zwei kräftiger chitinisierte, rundliche Flecke.

Material und Vorkommen: Zambesi: Shire River (1♂ Holotypus, 2♀ Paratypoide MG; 1♀ Paratypoid SMF 9813). — Ruanda (1♀ Paratypoid RII/11727).

Huber, B. A. 2012. Revision and cladistic analysis of the Afrotropical endemic genus *Smeringopus* Simon, 1890 (Araneae: Pholcidae). Zootaxa 3461: 1-138.

p. 117

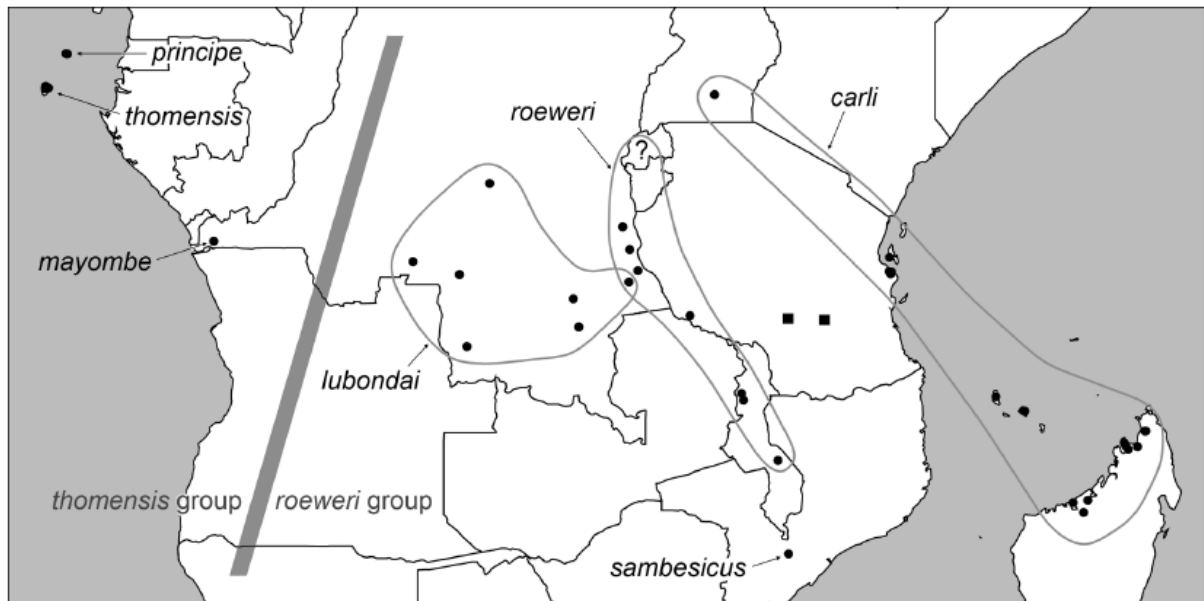


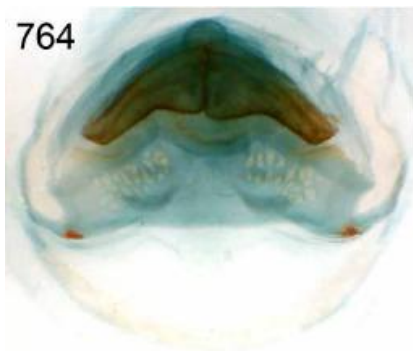
FIGURE 718. Known distributions of the *thomensis* and *roeweri* groups. “?”: unknown type locality of *S. roeweri* in Rwanda. Squares: further undescribed species.

p. 121



FIGURES 745–756. *Smeringopus roeweri* group, habitus and left male palps, prolateral and retrolateral views. 755–756. *S. sambesicus*.

p. 122



FIGURES 757–764. *Smeringopus roeweri* group, epigyna, ventral views and cleared female genitalia, dorsal views.
764. *S. sambesticus*.

p. 128

***Smeringopus sambesticus* Kraus, 1957**

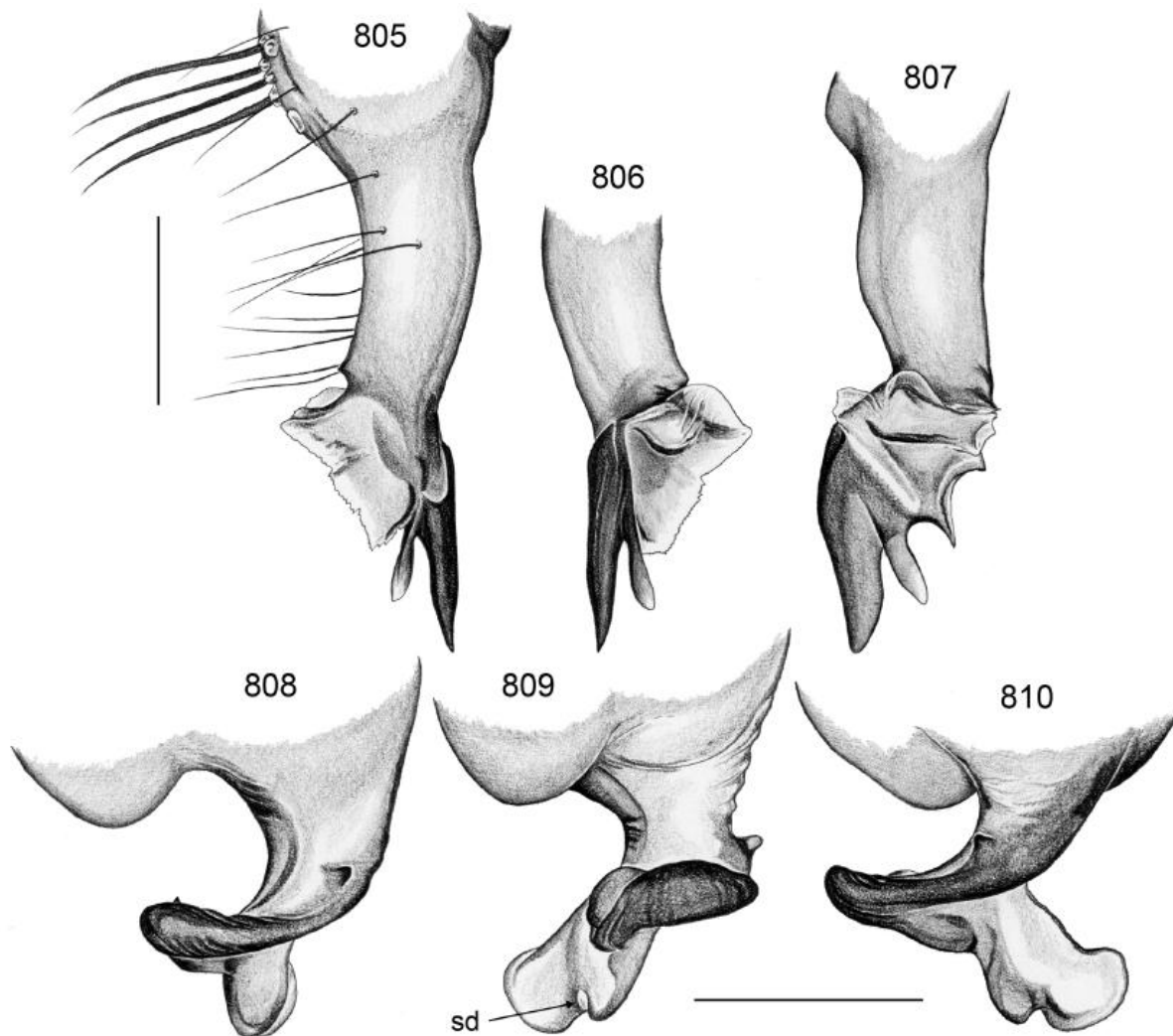
Figs. 755–756, 764, 805–810

Smeringopus sambesticus Kraus 1957: 228–229, figs. 28–33.

Types. Male holotype and 2♀ paratypes from Mozambique, Shire River [$\sim 17^{\circ}42'S$, $35^{\circ}19'E$], 1927 (H.B. Cott), holotype and 1♀ in MHNG, 1♀ in SMF (9813/1), cleared epigynum mounted on slide, examined.

Misidentified paratype: 1♀ from Rwanda, no further data, in SMF (RII 11727, ex RII 7771), examined.

Notes. The vial containing the holotype and 1♀ paratype also contained a male with both palps missing and without proximal cheliceral apophyses. The female paratype from Rwanda is a misidentified *S. peregrinoides*.



FIGURES 805–810. *Smeringopus sambesicus*. 805. Left cymbium and procurcus, retrolateral view. 806–807. Left procurcus, prolateral and dorsal views. 808–810. Left embolus, prolateral, prolatero-ventral, and prolatero-dorsal views. Scale lines: 0.3 mm.

Diagnosis. Distinguished from similar species with proximal and distal cheliceral apophyses (*S. roeweri*, *S. carli*, *S. lubondai*) by shapes of procurcus (distal blade-shaped apophyses, Figs. 805–807) and bulb (processes of embolus, Figs. 808–810); from *S. roeweri* and *S. lubondai* also by long frontal epigynal plate (very similar *S. carli*, cf. Figs. 761, 762).

Male (holotype). Total body length 6.1, carapace width 1.9 (slightly deformed). Leg 1: 41.0 (11.1 + 0.8 + 10.7 + 16.3 + 2.1), tibia 2: 7.7, tibia 3: 5.7, tibia 4: 7.9; tibia 1 L/d: 48. Habitus similar *S. carli* (cf. Fig. 748). Carapace ochre-yellow with brown median and indistinct lateral marks, clypeus without brown stripes (present in original description), legs monochromous ochre-yellow, abdomen ochre-gray with very indistinct pattern (probably artificially indistinct). Distance PME-PME 195 μ m, diameter PME 175 μ m, distance PME-ALE 80 μ m, distance AME-AME 60 μ m, diameter AME 150 μ m. Ocular area slightly elevated, secondary eyes with 'pseudo-lenses'; deep thoracic pit. Chelicerae with slender proximal apophyses as in *S. carli* (cf. Figs. 788, 789), distal apophyses rather like in *S. roeweri* (cf. Figs. 771, 772; more towards frontal and shorter than in *S. carli*). Palps as in Figs. 755 and 756, coxa with distinct retrolateral apophysis and shallow wide furrow, trochanter barely modified, femur with shallow retrolateral furrow with ventrally distinct rim, procurcus with distinctive distal blade-shaped processes (Figs. 805–807), bulb with distinctive embolus (Figs. 808–810). Legs without spines, few vertical hairs, with curved hairs on tibiae and metatarsi 1 and 2, retrolateral trichobothrium on tibia 1 at 3%; prolateral trichobothrium present on tibia 1.

Female. In general similar to male; tibia 1 in paratype from Shire River: 9.1; missing in other paratype examined. Epigynum very similar *S. carli* (cf. Figs. 761, 762), also cleared internal view similar *S. carli* (Fig. 764).

Distribution. Only known from type locality in Mozambique (Fig. 718).

Material examined. MOZAMBIQUE: Shire River: 1♂2♀ types above.